

УДК 621.383.5.029.71/73

В. В. Васильев, Т. И. Захарьин, А. Г. Клименко, А. И. Крымский,
И. В. Марчишин, Т. Н. Недосекина, В. Н. Овсяк, Л. Н. Ромашко,
К. К. Свиташев, А. О. Суслаков, Н. Х. Талипов, Л. В. Тишковская

(Новосибирск)

ФОКАЛЬНЫЕ МАТРИЦЫ 2×64 ДЛЯ СПЕКТРАЛЬНОГО ДИАПАЗОНА 8—10 МКМ НА ОБЪЕМНЫХ КРИСТАЛЛАХ CdHgTe

Разработана технология изготовления линейчатого гибридного фотоприемного модуля (ФПМ) 2×64 на объемных кристаллах CdHgTe (КРТ) p -типа для спектрального диапазона 8—10 мкм. Изготовлены диодные ($n-p$) линейки с длинноволновой отсечкой фоточувствительности в области 8—10 мкм. Разработана принципиальная схема считающего устройства, на основе которой изготовлены кремниевые 64-канальные мультиплексоры, работающие при $T = 80$ К. Эти компоненты изготавливаются независимо и затем методом гибридной сборки с помощью гибких полимидных шлейфов собираются на единой сапфировой пластине. Измерены фотодиодные характеристики каждого элемента. Среднее значение $R_0 A \approx 35$ Ом \cdot см 2 . Количество работающих элементов 95 %. На основе ФПМ 2×64 реализована тепловизионная система с объективом $F/1$, позволяющая получить $NE\Delta T \approx 50$ мК.

Введение. Полупроводниковые растворы КРТ широко используются при изготовлении фотоприемников ИК-излучения для спектральных диапазонов 3—5 и 8—12 мкм. До недавнего времени основным препятствием для широкого использования этих приемников являлось недостаточное развитие технологий как выращивания совершенных слоев и кристаллов КРТ, так и изготовления фотоприемных структур на их основе.

В последнее время был достигнут значительный прогресс в развитии технологий выращивания слоев КРТ методами жидкофазной [1] и молекулярно-лучевой эпитаксии [2, 3], пригодных для изготовления многоэлементных матричных фотоприемных устройств с засветкой через подложку. Объемные кристаллы КРТ, на которых технически очень сложно изготовить матричные фотоприемные устройства (необходимо прецизионное утонение кристаллов до толщин ~ 10 мкм без внесения структурных дефектов), обладают высокими электрофизическими характеристиками и структурным совершенством [4]. Поэтому объемные кристаллы КРТ успешно используются для создания малоэлементных и линейчатых фотоприемников.

Разработка фотоприемных устройств на КРТ для длинноволнового ИК-диапазона является более сложной задачей по сравнению с коротковолновыми (1—2 мкм) или средневолновыми (3—5 мкм) ИК-приемниками, так как фотодиоды с узкой запрещенной зоной имеют большие темновые токи, а большой поток фонового излучения приводит к низкому фотонному контрасту.

В данной статье описаны разработанные нами технологии изготовления линейчатого 2×64 фотоприемника на объемных кристаллах КРТ для спектрального диапазона 8—10 мкм и гибридной микросборки ФПМ 2×64 с двумя кремниевыми мультиплексорами на 64 канала каждый. Приведено описание принципиальной схемы кремниевого мультиплексора и фотоэлектрические параметры изготовленного линейчатого ФПМ. Обсуждена возможность

использования данного модуля для получения сигнального изображения с использованием сканирующей системы в одном направлении.

Технология изготовления фотоприемной линейки 2 × 64. Для изготовления линейчатых фотоприемных структур 2 × 64 элемента на КРТ разработана топология фотодиодных линеек в планарном исполнении. Данная топология представляет двухрядную линейку по 64 элемента в каждом ряду с шагом 100 мкм, причем линейки сдвинуты относительно друг друга на 0,5 шага. Расстояние между рядами 50 мкм. Геометрический размер фотоприемного элемента 50 × 70 мкм, зазор между элементами вдоль ряда 50 мкм. Контактные площадки к фотоприемным элементам вынесены с помощью металлической разводки по обе стороны от обеих линеек фотодиодов и имеют размер 100 × 200 мкм.

Технологический маршрут изготовления линейчатых фотоприемных структур на КРТ *p*-типа состоит из более тридцати операций, включающих следующие основные технологические процессы:

- удаление нарушенного слоя и планаризация рабочей поверхности путем химико-механической полировки и последующего химико-динамического травления в бром-этанольном травителе, загущенном этиленгликолем;
- формирование *n*—*p*-переходов методом ионной имплантации бора и/или отжигом под анодным окислом в окнах из фоторезиста [5];
- обработка поверхности КРТ во фторсодержащем травителе с целью удаления бромидов ртути и других примесных элементов (K, Na, Ca, Si и др.) и выращивание естественного окисла КРТ [6];
- нанесение низкотемпературного двухслойного диэлектрического пассивирующего покрытия SiO_2 — Si_3N_4 (диэлектрические слои SiO_2 наносились методом осаждения из газовой фазы в процессе окисления моносилана в кислороде в потоке аргона при $T = 100^\circ\text{C}$ [7], слои Si_3N_4 наносились в процессе химической реакции моносилана с аммиаком в плазме тлеющего разряда при температуре подложки 50°C [8]);
- формирование омического контакта к *n*-области в окне размером 10×30 мкм с помощью индия, напыленного термоиспарением в вакууме;
- нанесение трехслойной металлической разводки Ni—Al—Ni методом термического испарения в вакууме в одном цикле; соотношение толщин слоев Ni и Al подобрано специальным образом для уменьшения механических напряжений между диэлектриком и металлической разводкой, а также для предотвращения химического взаимодействия между индием и алюминием;
- формирование индиевых «столбиков» высотой 8—10 мкм с использованием термоиспарения индия в вакууме;
- прецизионное разделение пластины КРТ на кристаллы с линейчатыми фотоприемными структурами 2 × 64 на специальном станке с толщиной реза ~ 100 мкм.

Следует отметить, что при изготовлении фотоприемных линеек на КРТ необходимо соблюдать ограничение по температуре (не более 100°C) всех технологических процессов, включая процессы фотолитографии по диэлектрикам и металлам. Исходя из этого требования был разработан процесс фотолитографии с термообработкой слоев фоторезиста при $T < 90^\circ\text{C}$.

Свойства границы раздела КРТ — диэлектрик. Характеристики детекторов, изготовленных на материалах с узкой запрещенной зоной, зависят как от объемных свойств исходного полупроводникового материала, так и от свойств диэлектрических покрытий, используемых для защиты (пассивации) поверхности полупроводника. Избыточные токи утечки в фотодиодах обусловлены не только процессами межзонного туннелирования и туннелирования через уровни ловушек в запрещенной зоне в объеме полупроводника, но и туннелированием через уровни ловушек вблизи границы раздела полупроводник — диэлектрик и поверхностные состояния. Более того, для узкозонного КРТ большой фиксированный заряд на границе раздела приводит к инверсии типа проводимости у поверхности и, следовательно, к увеличению туннельных процессов вблизи нее. Таким образом, пассивирующие покрытия должны

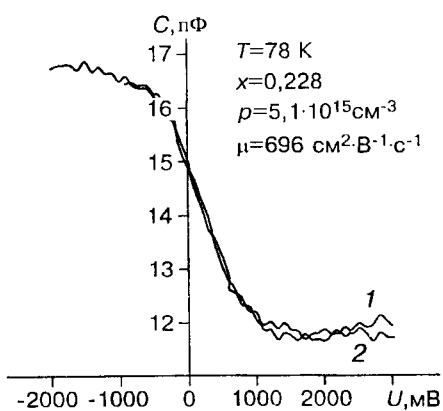


Рис. 1. Типичные вольт-фарадные характеристики тестовых МДП-структур:
кривая 1 — 136 кГц, 2 — 1 МГц

иметь малую плотность зарядовых состояний вблизи поверхности, обеспечивать хорошую однородность и стабильность параметров границы раздела.

Для пассивации поверхности КРТ использовали диэлектрические слои пиролитического SiO_2 и плазмохимического Si_3N_4 , которые наносили на естественный окисел. Параметры границы раздела определяли из измеренных при $T = 78 \text{ K}$ вольт-фарадных (C - V)

характеристик тестовых МДП-структур, изготовленных рядом с фотодиодами на тех же образцах. Вольт-фарадные характеристики, измеренные на 136 кГц — 1 МГц, имеют высокочастотный (ВЧ) вид (рис. 1). Поверхность находится практически в состоянии плоских зон при нулевом напряжении на электроде. Приняв, что контактная разность потенциала, рассчитанная из [9], не превышает 0,4 В, плотность фиксированного заряда на границе раздела получается $N_{\text{fix}} \sim 5 \cdot 10^{10} \text{ см}^{-2}$. Характерная величина гистерезиса ВЧ C - V -кривых не превышает 0,1 В в диапазоне смещений ± 3 В при скорости развертки 0,03 В/с. Соответствующая этому гистерезису плотность перезаряжающихся состояний у поверхности [10] составляет $N_{\text{it}} \approx 1,5 \cdot 10^{10} \text{ см}^{-2}$. Плотность быстрых поверхностных состояний вблизи середины запрещенной зоны, оцененная из значений минимумов низкочастотной ($C_{\text{min}} = 12,8 \text{ пФ}$ при 1 кГц) и высокочастотной (C_{min}) зависимостей [11], $\approx 1—2 \cdot 10^{11} \text{ см}^{-2} \cdot \text{эВ}^{-1}$. Значение концентрации акцепторов в ОПЗ полупроводника $N_A \approx 5 \cdot 10^{15} \text{ см}^{-3}$, вычисленное из C_{min} ВЧ C - V -характеристики, близко к объемному значению N_A .

Измерения темновых и световых (при освещении излучением абсолютно черного тела (АЧТ) $T_{\text{АЧТ}} = 293 \text{ K}$) вольт-амперных характеристик и дифференциальных сопротивлений диодов проводили при $T = 78 \text{ K}$ (рис. 2). Темновые токи диодов при обратном напряжении $U = -50 \text{ мВ}$ находились в

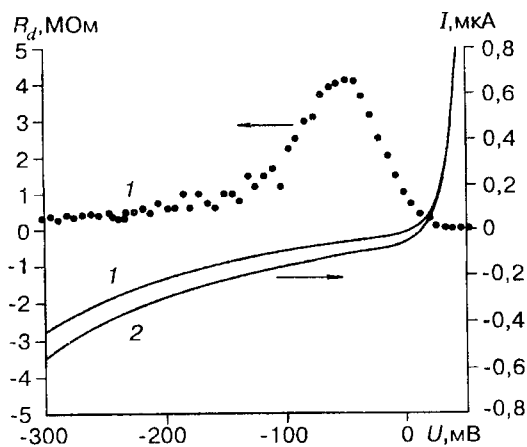


Рис. 2. Типичные вольт-амперные характеристики и дифференциальное сопротивление фотодиодов в матрице 2×64 , измеренные при $T = 78 \text{ K}$:
1 — в темноте, 2 — при освещении излучением АЧТ, $T_{\text{АЧТ}} = 293 \text{ K}$

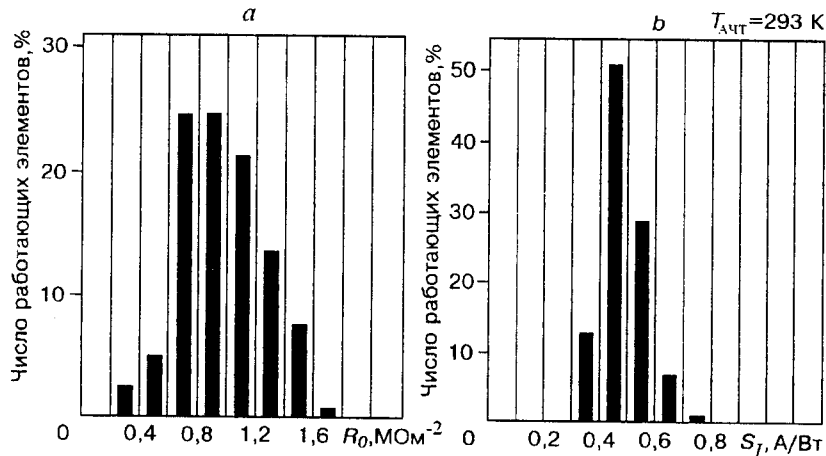


Рис. 3. Гистограммы распределения дифференциального сопротивления R_0 (а) и ампер-ваттной чувствительности диодов S_I (б) при $T = 78 \text{ К}$ в матрице 2×64

диапазоне $(5—10)10^{-8} \text{ А}$, а максимальное дифференциальное сопротивление достигало $(4—6) \text{ МОм}$. Малая плотность зарядовых состояний вблизи поверхности, однородность параметров полупроводника и границы раздела КРТ — диэлектрик позволили получить однородные вольт-амперные характеристики диодов. На рис. 3 представлены гистограммы дифференциального сопротивления при нулевом смещении R_0 и ампер-ваттной чувствительности S_I элементов матрицы.

КМОП-мультиплексор 64×1 с буферными усилителями на входе. На рис. 4 изображена схема одного канала разработанного 64 -канального мультиплексора, выполненного по КМОП-технологии с p -карманом. Схема предназначена для считывания сигналов с линейки $n-p$ -диодов на основе соединения КРТ. Дифференциальный усилитель на транзисторах $T1—T5$ в данной схеме, помимо функции формирования точного, термостабильного смещения (с однородностью $\pm 5 \text{ мВ}$), обеспечивает низкое входное сопротивление схемы считывания. Малошумящая работа схемы с низкоомными фотодиодами обеспечивается детекторами с сопротивлением не менее 200 кОм при времени интегрирования 100 мкс . Ограничение минимальной величины сопротивления фотодиода определяется $1/f$ -шумом МДП-транзисторов. Возможности снижения $1/f$ -шума, например, за счет увеличения площади затворов или удельной емкости диэлектрика весьма ограничены.

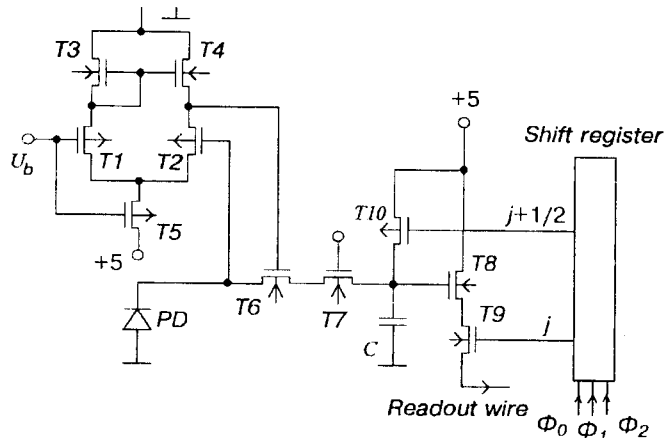


Рис. 4. Принципиальная схема одного канала мультиплексора 64×1

Основные параметры фотоприемных модулей

ФПМ	$\lambda_{\text{отс.}}$ мкм	R_{04} , Ом · см ²	D^* (500 К, 1 кГц), 10^{10} см · Гц ^{1/2} /Вт	$NEA\Delta T$, мК		Число работающих элементов, %	Апертурный угол 2Θ ($T = 293$ К)
				Идеал.	Эксп.		
1	8,3	35	$2,92 \pm 0,63$	4,97	20	95,3	40
2	10,0	28	$5,38 \pm 2,42$	7,76	23	88,2	20

Входной узел с буферным усилителем сконструирован по схеме [12]. Фототок через экранирующий МДП-транзистор $T7$ непрерывно поступает на интегрирующую емкость C , которая периодически заряжается до напряжения источника питания. Считывание сигнального напряжения на емкости, пропорционального величине накопленного за один цикл заряда, происходит следующим образом. По КМОП-регистру сдвига, управляемому импульсными напряжениями Φ_0 — Φ_2 , передвигается импульс с высоким логическим уровнем «1». С появлением «1» на j -м выходе регистра ключ $T9$ открывается и на выходной шине, нагруженной на резистор или источник тока, появляется сигнал, соответствующий напряжению на затворе транзистора считывания $T8$. Через $1/2$ такта на промежуточном $j + 1/2$ выходе регистра появляется импульс, открывающий транзистор сброса $T10$, и на шине считывания возникает сигнал, соответствующий напряжению зарядки емкости. Разница двух сигналов, пропорциональная величине сигнального заряда, вычисляется с помощью устройства двойной корреляционной выборки.

Описанный мультиплексор удобен в эксплуатации, так как требует для работы только три источника постоянного напряжения, а также три импульсных напряжения для регистра сдвига.

Микросборка фотоприемного модуля 2×64 . Фотоприемный модуль, состоящий из линейки фотодиодов 2×64 на КРТ и двух кремниевых мультиплексоров по 64 канала каждый, собран на единой сапфировой плате. Кристаллы расположены лицевой стороной вверх и соединены между собой с помощью гибких полиимидных микрошлейфов. Толщины полиимida и алюминиевой металлизации составляют 20 и 10 мкм соответственно. Топология микрошлейфов представляет собой 64 параллельные шины с шагом 100 мкм и шириной 55 мкм. Перед сваркой кончики микрошлейфов подвергались лазерной очистке, после чего вакуумным напылением наносился сначала слой Ni толщиной ~ 400 Å, а затем индий толщиной 7 мкм. Использование Ni в качестве подслоя позволило избавиться от наблюдавшихся (в случае отсутствия подслоя) шумящих и возрастающих со временем межслоевых сопротивлений Al—In.

С целью уменьшения механических напряжений при термоциклировании модуля, а также из-за старения полиимida микрошлейфам придана изогнутая форма и в промежутках между шинами полиимид частично удален с помощью лазерной сублимации.

Присоединение микрошлейфов к контактным площадкам мультиплексоров, на которых методом вакуумного термоиспарения напылен In, выполнено способом групповой холодной сварки под давлением на свеженапыленных индивидуальных «столбах». Прочность соединения In—In была высока, и дополнительных термообработок (оплавления индия) не проводилось.

Присоединение микрошлейфов к контактным площадкам фотоприемной линейки 2×64 на КРТ выполнено при комнатной температуре способом индивидуальной холодной ультразвуковой (УЗ) микросварки индивидуальных «микростолбов» на кончиках шин к индивидуальным контактным площадкам фотодиодной линейки (толщина индивидуальных «микростолбов» составляет 6—8 мкм). УЗ-индентор создавал давление, которое в пересчете на эффективную площадь под кончиками Al-шин, не превышало 1000 г/мм² [13]. Такое давление достаточно для существенной (~ 30 %) пластической деформации индивидуальных

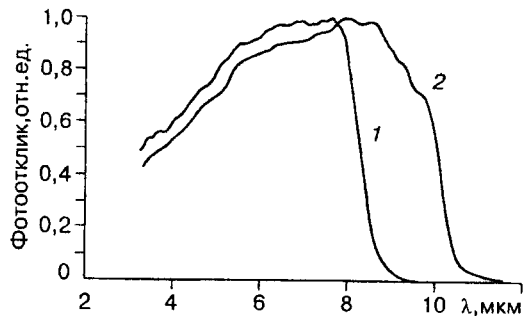


Рис. 5. Типичные спектральные зависимости фотоотклика:
1 – образец 1, 2 – образец 2, $T = 78$ К

«микростолбов», приводящей к их надежной сварке. В то же время это давление ниже допустимого предела, составляющего примерно 1700 г/мм 2 , ниже которого в КРТ не образуются электрически активные структурные дефекты (испытание образцов проводилось методом «балки на опорах» [14]). Однако в работе [3] авторы используют более высокое давление 3800 г/мм 2 в технологии гибридной микросборки матричного ФПУ 64×64 с длинноволновой границей фоточувствительности $10,7$ мкм, при котором не происходит заметного ухудшения характеристик фотодиодов. Это можно объяснить тем, что в данном случае механическая нагрузка передается «с плоскости на плоскость».

Параметры фотоприемного модуля 2×64 . Измерение основных фотоэлектрических параметров ФПМ проводилось в азотном криостате с охлаждаемой диафрагмой при температуре 80 К. Апертурный угол 2Θ , определяемый диафрагмой, выбирался по критерию наиболее полного использования динамического диапазона мультиплексора при времени накопления $t_{\text{нак}} = 100$ мкс. На всех элементах ФПМ измерены вольт-ваттная чувствительность, спектральная плотность напряжения шумов $U_{\text{ш}}$ и определена предельная обнаружительная способность D^* (500 К, 2Θ , 1 кГц) в единичной полосе частот. Также определена эквивалентная шуму разность температур $N\Delta T$ (для протяженного источника с температурой 293 К, соответствующего апертурного угла и времени кадра $t_{\text{k}} = 128t_{\text{нак}}$). Основные результаты и условия измерений представлены в таблице (образец 1).

В качестве примера в таблице также представлены основные параметры фотоприемного модуля с длинноволновой границей фоточувствительности

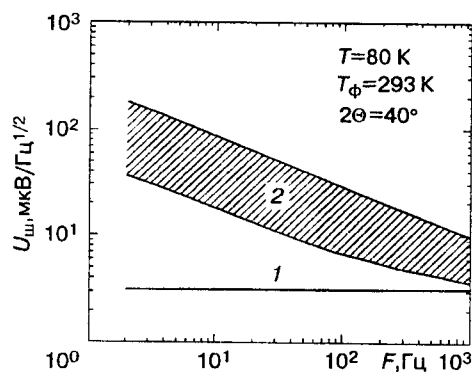


Рис. 6. Частотная зависимость выходного шума элементов ФПМ 1:
1 – расчетное значение шума, обусловленного флуктуациями фонового излучения; 2 – область значений выходного шума элементов модуля

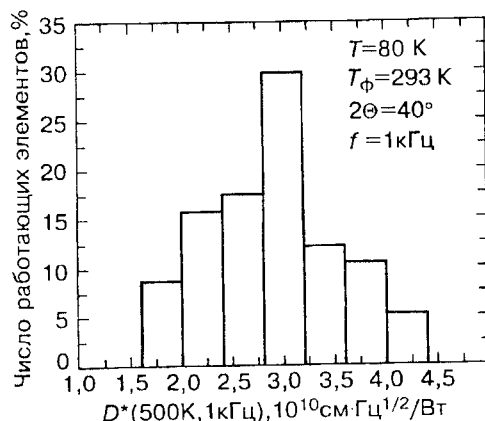


Рис. 7. Гистограмма обнаружительной способности элементов модуля ФПМ 1 ($\lambda_{\text{отс}} = 8,3 \text{ мкм}$)

10,0 мкм (образец 2). Спектральные зависимости фоточувствительности этих образцов приведены на рис. 5.

Указанные в таблице идеальные расчетные значения $NE\Delta T$ получены как отношение проинтегрированного в полосе частот $[1/t_k, 1/2t_{\text{нак}}]$ шума, обусловленного флуктуациями фонового излучения, к температурной чувствительности фотодиода с внешней квантовой эффективностью $\eta = 0,6$.

Существенное превышение экспериментально определенных величин $NE\Delta T$ над идеальными расчетными значениями объясняется наличием у фотодиодов избыточного « $1/f$ -шума», граничная частота которого находится в пределах 1—50 кГц. Частотная зависимость напряжения выходного шума по всем элементам ФПМ 1 и расчетное значение шума, обусловленного флуктуациями фонового излучения, представлены на рис. 6. Интегральное напряжение шумов, определенное в полосе частот $[1/t_k, 1/2t_{\text{нак}}]$ для различных элементов, в 1,3—4 раза превышает шум, обусловленный флуктуациями фона.

На рис. 7 показана гистограмма обнаружительной способности D^* (500 K, 40°, 1 кГц) для ФПМ 1. Сравнительно большая дисперсия обнаружительной способности в основном определяется разбросом величины шумовых напряжений по элементам ФПМ, в то время как вольт-ваттная чувствительность достаточно однородна (относительное среднеквадратичное отклонение 15 и

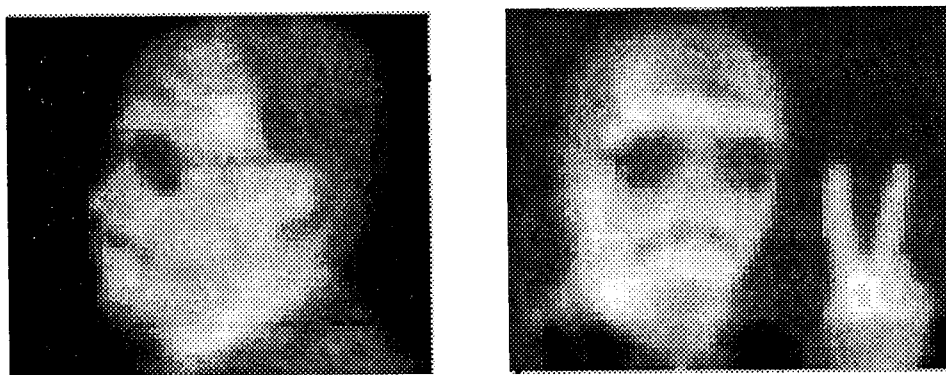


Рис. 8. Примеры теплового изображения

14 % для ФПМ 1 и 2 соответственно) и близка к своему теоретически возможному пределу.

На основе ФПМ 1 реализована тепловизионная система с объективом $F/1$ и скоростью развертки 1 кадр/с. Используемая оптика позволяет получить эквивалентную шуму разность температур в поле кадра приблизительно 50 мК. Примеры тепловых изображений представлены на рис. 8.

Заключение. Разработана комплексная технология изготовления гибридных фокальных фотоприемных модулей 2×64 на объемных кристаллах КРТ с длинноволновой границей фоточувствительности в области 8–10 мкм. Изготовленные ФПМ обладают высокой обнаружительной способностью $D^* = (3–5)10^{10}$ см · Гц $^{1/2}$ /Вт $^{-1}$. Тепловизионные системы, реализованные на основе фотоприемных модулей, позволяют получать эквивалентную шуму разность температур $NE\Delta T \cong 50$ мК для фонового излучения при комнатной температуре.

СПИСОК ЛИТЕРАТУРЫ

1. Kanno T., Saga M., Kajihara N. et al. Development of LPE-grown HgCdTe 64×64 FPA with a cutoff wavelength of 10.6 mkm // Proc. SPIE. 1993. 2020. P. 49.
2. DeWames R. E., Arias J. M., Kozlowski L. J., Williams G. M. An assessment of HgCdTe and GaAs/GaAlAs technologies for LWIR infrared imagers // Proc. SPIE. 1992. 1735. P. 2.
3. Kanno T., Saga M., Kawahara A. et al. Development of MBE-grown HgCdTe 64×64 FPA for long-wavelength IR detection // Proc. SPIE. 1993. 2020. P. 41.
4. Rogalski A., Piotrovski J. Intrinsic infrared detectors // Progr. Quant. Electron. 1988. 12. P. 87.
5. Талипов Н. Х., Попов В. П., Ремесник В. Г., Налькина З. А. Влияние отжига под анодным окислом на изменение состава поверхности и конверсию типа проводимости монокристаллов p -CdHgTe ($x = 0.2$) // ФТП. 1992. 26. С. 310.
6. Romashko L., Myasnikov A., Ovsyuk V. et al. Formation of oxide films on HgCdTe after fluorine-consist rinsing // Materials Sci. Forum. 1995. 185–188. P. 209.
7. Васильев В. В., Дроздов В. Н., Салеева Г. Ю. Свойства слоев SiO₂, полученных окислением моносилана кислородом при 100 °C // Хим. физика. 1992. 11. С. 1683.
8. Emeksuzyan V. M., Romashko L. N., Saleeva G. Y. et al. The application of CVD SiO₂ and PECVD Si₃N₄ in fabrication and passivation of long-wavelength HgCdTe photodiode arrays // Extended Abstracts of SSDM'95. Osaka, Japan, 1995. P. 1061.
9. Зи С. Физика полупроводниковых приборов. М.: Мир, 1984. Т. 1.
10. Войцеховский А. В., Давыдов В. Н. Фотоэлектрические МДП-структуры из узкозонных полупроводников. Томск: Радио и связь, 1990.
11. Овсянок В. Н. Электронные процессы в полупроводниках с областями пространственного заряда. Новосибирск: Наука, 1984.
12. Lockwood A. H., Parrish W. J. Predicted performance of indium antimonide focal plane arrays // Opt. Eng. 1987. 26, N 3. P. 228.
13. Клименко А. Г., Войнов В. Г., Новоселов А. Р. Устройство и метод измерения пластической деформации образцов микронных размеров // ПТЭ. 1996. № 4. С. 1.
14. Cole S., Willoughby A. F. W., Brown M. The mechanical properties of CdHgTe // J. Crystal Growth. 1982. 59. P. 370.

Поступила в редакцию 25 марта 1996 г.